

The study of effects of annealing and irradiation on the optical properties of the CdSe thin film which prepared by using the thermal evaporation method in the space

دراسة تأثير التلدين والتشعيع على الخواص البصرية لأغشية CdSe الرقيقة المحضرة بطريقة التبخير الحراري بالفراغ.

ماجد حسين دويج البهادلي
جامعة كربلاء / كلية العلوم/قسم الفيزياء.

الخلاصة:

في هذا البحث تم تحضير غشاء CdSe بطريقة التبخير الحراري وبسمك 4000 A° على أرضيات من الزجاج بعد ذلك تم تلدين هذا الغشاء بدرجة حرارة 200°C ولمدة ساعة واحدة وبالتالي تم تشعيعه باستخدام مصدر Cs-137 لدراسة خواصه البصرية حيث تم حساب فجوة الطاقة البصرية ومعامل الانكسار ومعامل الخمود وثابت العزل الكهربائي الحقيقي والخيالي قبل التلدين والتشعيع وبعد التلدين والتشعيع واجراء المقارنة بين النتائج التي حصلنا عليها في جميع الحالات. حيث لوحظ أن التلدين والتشعيع أثر كليهما على الخواص البصرية لهذا الغشاء أي نقصان في قيم الأمتصاصية ومعامل الانكسار وثابت العزل الحقيقي وزيادة قيم النفاذية وفجوة الطاقة البصرية ومعامل الخمود وثابت العزل الخيالي .

Abstract:

In this research ,we prepared CdSe thin film by using the thermal evaporation method with thickness 4000 A° for one hour on the ground of glasses. and thus plasticizer this film for 200°C in one hour and subjected it to x-ray by using the Cs-137 source for study the optical properties where the energy gap was calculated, refractive index , extinction index and real and imaginary dielectric factors before and after irradiation and annealing . The comparison between the results which we obtained in all cases .Where it was noted that both of annealing and irradiation affects on the optical properties of the membrane and any decrease in absorbent values of the refractive factors , the real and imaginary dielectric factors and increasing transmission values , optical energy gap , the extinction index and imaginary dielectric factors

المقدمة :-

لدراسة الخواص الفيزيائية والكميائية بشكل دقيق لأشباه الموصلات يتم استخدام تقنية الأغشية الرقيقة والتي تعتبر من أهم التقنيات المستخدمة في هذا الحقل من العلوم حيث تستخدم هذه التقنية سماكة صغير جدا قد لا يتجاوز ($1\mu\text{m}$) وتشمل مجموعه من الطرق لتحضير الأغشية الرقيقة مثل طريقة التبخير الحراري في الفراغ thermal evaporation in vacuum [1,2].

اما الطريقة التي تم استخدامها لتحضير الغشاءالرقيق CdSe في هذا البحث هي التبخير الحراري في الفراغ بواسطة جهاز BALZERS (حيث يتكون من منظومة تفريغ ومنظومة تبخير ومنظومة القدرة والسيطرة [3] .) ويتميز المركب الشبه الموصل CdSe بأمتلاكه فجوة طاقة مباشرة مقدارها 1.74eV لذلك يستخدم هذا المركب في التوصيلية الضوئية وصناعة الترانزistorات وبعض الكواشف وله كثافة 5.82 g/cm^3 وهو مسحوق ذو تركيب بلوريبني أما إذا أصبح غشاء رقيق يكون شفاف [4].

الجزء العلمي

1- تحضير (تصنيع) الغشاء :-

تم ترسيب الغشاء الرقيق من مسحوق المركب النقي CdSe على أرضيات من الزجاج ذات منشأ ألماني وتحمل درجات حرارة عالية بعد تنظيفها بشكل جيد ودقيق من جميع الشوائب حتى نضمن أن الغشاء المحضر على هذه الشرائح الزجاجية يكون نقى خالي من العيوب قدر الإمكان . وبعدها تم قياس سمك الغشاء بالطريقة الوزنية وكان سمك الغشاء هو 4000A° وحسب العلاقة التالية.

$$t = \Delta m / \rho \cdot A \dots \dots (1)$$

حيث أن t هي سمك الغشاء و Δm هو فرق الوزن و ρ هي كثافة المادة المرسيبة و A هي مساحة الغشاء.^[5]

2- تلدين الغشاء :-

تم تلدين الغشاء بعد تحضيره داخل الفرن الى درجة حرارة 200C° ولمدة ساعة واحدة.

3- تشيع الغشاء:-

لقد تم تحضير (6) نماذج تحت نفس الظروف والسمك وبعدها بقية (2) من النماذج بدون أي معاملة و(2) من النماذج تم تلدينها و(2) من النماذج تم تعریضها الى أشعة كاما تشعيتها بمصدر $\text{Cs}-137$ ولمدة 21 يوم.^[6]

4- الخواص البصرية :-

بعد تحضير الغشاء وتلدينه وتشعيته يتم فحص جميع النماذج بواسطة جهاز UV/visible Recording Spectror photometer UV/160 حيث يتضمن هذا الجهاز قياس طيفي النفاذية والأمتصاصية للأغشية في مديات الطول الموجي بين 300-900nm لغرض دراسة خواصه البصرية.

عندما يتعرض أي شبه موصل الى حزمه ضوئيه ذات طاقة ($E_g > h\nu$) تكون شدة الشعاع الساقط الأبتدائية هو (I_0) سوف يمتص جزء من هذه الحزمة الضوئية من قبل الغشاء ويكون معدل الأمتصاص معتمدا على الطول الموجي للأشعاع الساقط وسمك ذلك الغشاء وبذلك يمكن حساب الشدة النافذة للأشعاع (I_t) للنموذج ذو السمك t بواسطة المعادلة التالية .

$$I_t = I_0 e^{-at} \dots \dots (2)$$

حيث أن a يمثل معامل الأمتصاص ويقاس بوحدة (cm^{-1}) .

أن حساب الخواص البصرية للمواد الشبة الموصلة تعطينا فكرة جيدة وواضحة للأمتصاص البصري وقيم فجوة الطاقة حيث أن جميع المواد الشبة الموصلة تحصل فيها زيادة سريعة في قيم الأمتصاص عندما تكون طاقة الأشعاع الممتص أكبر أو مساوي لفجوة الطاقة بين حزمتي التكافؤ والتوصيل.^[7,8]

أما بالنسبة للثوابت البصرية التي تم حسابها في هذا البحث هي :-

أولاً: الأمتصاصية (Absorptance) :

حيث يمكن تعريف الأمتصاصية (A) على أنها شدة الأشعة التي تمتص من قبل الغشاء (I_A) الى شدة الأشعة الساقطة على الغشاء (I_0) والتي تمثل بالمعادلة التالية .

$$A = I_A / I_0 \dots \dots (3)$$

كذلك يمكن التعبير عن الأمتصاصية بواسطة النفاذية (T) والأنعكاسية (R) كما يلي .

$$A = 1 - R - T \dots \dots (4)$$

وأثناء عملية الأمتصاص يتم تحويل الطاقة الضوئية الى شكل آخر من الطاقة مثل طاقة حرارية ...الخ .
وكذلك يوجد علاقة تربط بين (T) و(A) وكما يلي .

$$T = e^{-2.303A} \dots \dots (5)$$

كذلك يمكن حساب معامل الأمتصاص باستخدام العلاقة التالية .

$$\alpha = 2.303(A/t) \dots \dots (6)$$

ثانياً : النفاذية (Transmittance) :

بالنسبة للنفاذية تكون بنفس الطريقة حيث تمثل شدة الأشعة النافذة (I_t) من الغشاء الرقيق الى شدة الأشعة الساقطة على ذلك الغشاء (I_0) وكما يلي .^[9,10]

$$T = I_t / I_0 \dots \dots (7)$$

حيث أن المادة الشبة الموصلة عنده أضاءتها بالأشعة الضوئية فإن جزء من هذه الأشعة سوف ينفذ وهذه الشدة النافذة للضوء تكون معتمدة بشكل واضح وكبير على طاقة الفوتونات الساقطة وخصائص المادة الشبة الموصلة .
ويمكن وصف النفاذية (T) بالعلاقة التالية .

$$T = [(1-R)^2 \exp(-at)] \dots \dots (8)$$

ثالثاً : الانتقالات البصرية : The Optical Transitions

وتكون الانتقالات البصرية على توغين هما .

1- الأنقال المباشر . The Direct Transitions

حيث يحدث هذا الأنقال بين قمة حزمة التكافؤ وقعر حزمة التوصيل (بصورة عمودية) [11,12] ويكون متوجه الموجة له $\Delta k = 0$ وقانون حفظ الزخم محفوظ ويعبر إليه بالمعادلة التالية.

$$\alpha h\nu = B(h\nu - E_g)^{1/2} \dots \dots \dots (9)$$

حيث أن B تتناسب عكسياً مع العشوائية(amorphousity). والأنقال أعلى يطلق عليه الأنقال المباشر المسموح .

أما في حالة $\Delta k \neq 0$ فإن المتوجه الموجي (k) لا يساوي صفر وبذلك يدعى بالأنقال المباشر الغير المسموح وكما في المعادلة التالية .

$$\alpha h\nu = B(h\nu - E_g)^{3/2} \dots \dots \dots (10)$$

2- الأنقال الغير المباشر . The Indirect Transitions

يحدث هذا الأنقال بواسطة طاقة الفوتون مع طاقة الفوتون الساقط $h\nu$ الأقل من E_g ولكي يتحقق قانون حفظ الزخم يعبر عليه بالعلاقة التالية [12,13].

$$h\nu = E_g \pm E_p \dots \dots \dots (11)$$

في حين أن الأنقال الغير المباشر الغير المسموح يحدث بين نقطة قرب قمة حزمة التكافؤ وأي نقطة من قعر حزمة التوصيل ويعبر عنه بالعلاقة .

$$\alpha h\nu = B(h\nu - E_g)^2 \dots \dots \dots (12)$$

رابعاً: الثوابت البصرية الأخرى لكونها مهمة في تحديد سلوك المواد بصرياً مثل معامل الأمتصاص مهم في وصف فجوة الطاقة البصرية وطاقة الفوتون الساقط حيث أنه يحدث نتيجة فقدان في الطاقة خلال السمك للمواد ويعود السبب الرئيسي لذلك فقدان هو عملية الأمتصاص .

أما بالنسبة لمعامل الانكسار فيمكن حسابه من العلاقة التالية .

$$n_o = \{(1+R / 1-R)^2 - (K^2 + 1)\}^{1/2} + (1+R) / (1-R) \dots \dots \dots (13)$$

أما n_o هو معامل الانكسار ويعرف أيضاً بالعلاقة التي تربط سرعة انتشار الموجة V في الوسط وسرعة الضوء C في الفراغ كما يلي :

$$n = c/v \dots \dots \dots (14)$$

أما R هو الانعكاس K هو معامل الخמוד ويمكن أيجاده بالعلاقة التالية .

$$K = \alpha\lambda / 4\pi \dots \dots \dots (15)$$

حيث يعتبر معامل الخמוד للجزء الخيالي من معامل الانكسار المعدن الذي يمثل الانحلال الاسي للموجة داخل المادة .

أما ثابت العزل الكهربائي بجزئيه الحقيقي والخيالي عندما تحدث عملية فقدان الطاقة في المادة بسبب التفاعل بين الضوء وشحذات الوسط وما ينتج عنه من استقطاب لشحذات الوسط ويوصف هذا الاستقطاب عادة بثابت العزل الكهربائي المعدن الوسط . [14,15]

$$\epsilon_r = n^2 - K^2 \dots \dots \dots \text{ال حقيقي} \dots \dots \dots (16)$$

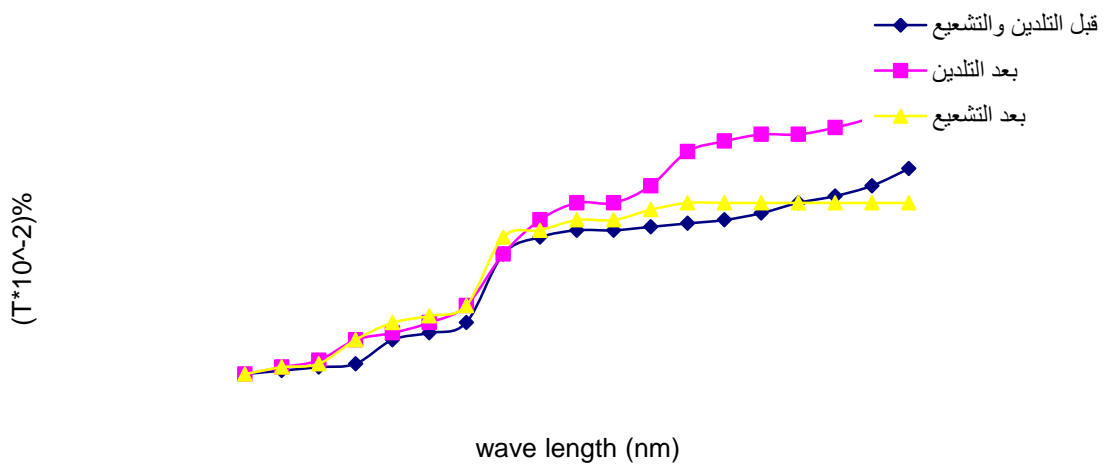
$$\epsilon_i = 2n \cdot K \dots \dots \dots \text{ال خيالي} \dots \dots \dots (17)$$

النتائج والمناقشة :-

بعد تحضير الغشاء الرقيق $CdSe$ بواسطة تقنية التخمير الحراري تحت ضغط مقداره 2×10^{-5} mbar بواسطة منظومة (BALZERS) وكان سمك الغشاء 4000\AA وعدد النماذج المحضرة (6) تم أخذ أثنتين من النماذج وعرضة للتلدين بدرجة $200^\circ C$ ولمدة ساعة واحدة وأثنتين أخرى من النماذج تم تشعيعها ب $Cs-137$ ولمدة 21 يوم وترك أثنتين من النماذج بدون تلدين ولا تشعيع وبعد ذلك فحصت جميع النماذج بواسطة جهاز UV/160 Recording Spector photometer UV/visible لايجاد طيفي الفانادي والأمتصاصية وكانت النتائج البصرية لجميع النماذج المحسوبة كما يلي:

طيف النفاذية :- transmition

تم دراسة طيف النفاذية لجميع الأغشية المحسنة ولمدى من الأطوال الموجية بين 200-1100nm ومن ملاحظة الطيف وجدة أن هذه الأغشية نافذة للضوء وكذلك تأثرت النفاذية بهذه التشعيع حيث أزدادة قيمها وكذلك بعد التلدين أزدادة أكثر مما هي عليه بعد التشعيع وأن سبب الزيادة الحاصلة في قيم النفاذية هو النقصان في قيم الانعكاسية والأمتصاصية حسب المعادله (4) وكما مبين بالشكل التالي.

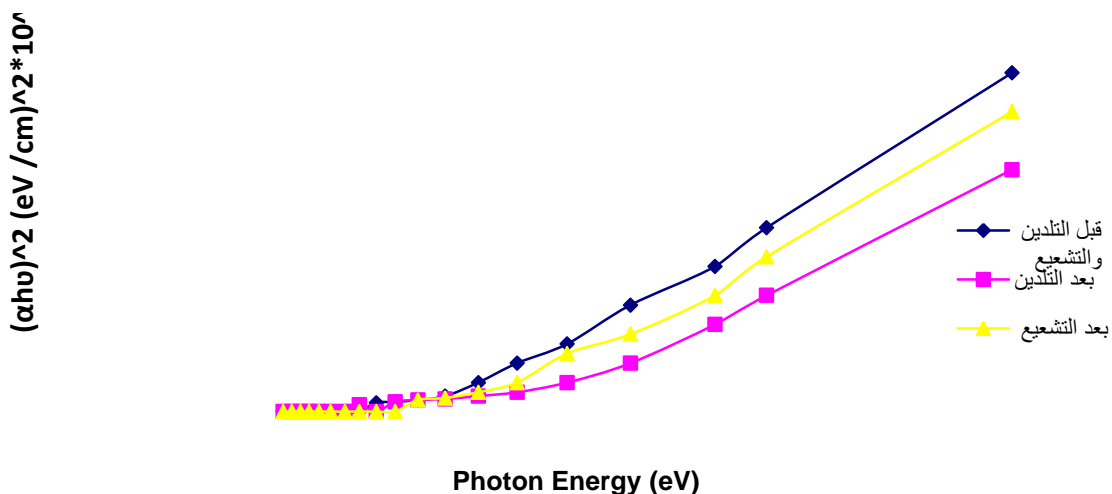


شكل رقم (1) يوضح قيم النفاذية لأغشية CdSe كدالة للطول الموجي قبل وبعد التلدين والتشعيع

فجوة الطاقة الممنوعة : Forbidden Energy Gap

يتطلب لحساب فجوة الطاقة المباشرة رسم العلاقة $\alpha(hv)^2$ كدالة لطاقة الفوتون (hv) حيث أن امتداد الجزء المستقيم من المنحني والذي يسقط على محور طاقة الفوتون عنده $= 0$ $(\alpha(hv))^2$ يمثل قيمة فجوة الطاقة المباشرة وكما هو موضح بالشكل رقم (2).

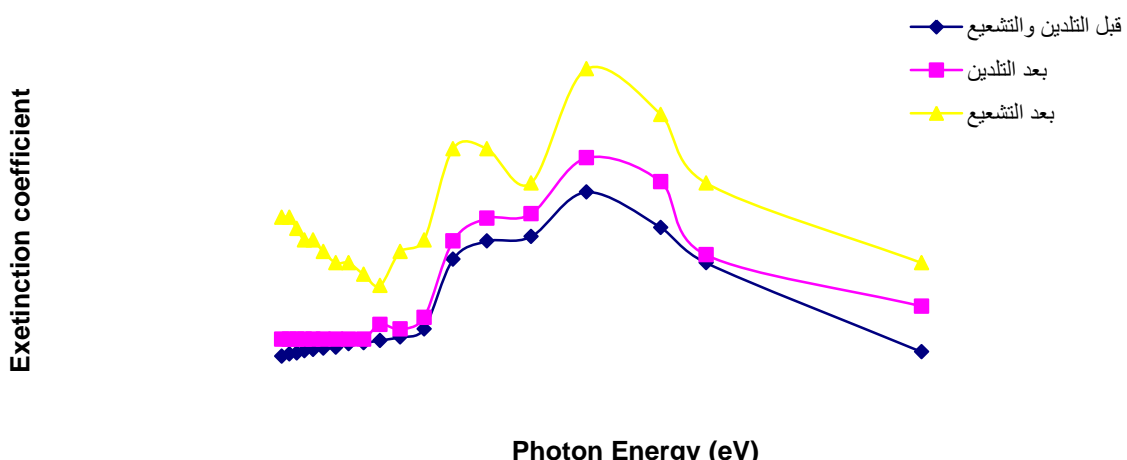
ونظراً لأهمية فجوة الطاقة في تحديد إمكانية استخدام الأغشية الرقيقة التي تحضر في تصنيع الخلايا الشمسية والمفارق الهجينية لأنها أساس لأنقاض الطيف لذلك تم حساب قيم فجوة الطاقة المباشرة لهذا الغشاء قبل وبعد التشعيع والتلدين وكانت القيم قبل التلدين والتشعيع هي (1.8eV) أما القيم بعد التلدين والتشعيع على التوالي هي (2.05eV) و(2.1eV) وتبيّن من هذه القيم أن قيم فجوة الطاقة زادت بعد التشعيع والتلدين وهذا يدل على أن التلدين والتشعيع يؤديان إلى زيادة أنسداد الترتيب الداخلي لذرات الغشاء [16].



شكل رقم (2) يوضح العلاقة بين $(\alpha(hv))^2$ لأغشية CdSe كدالة لطاقة الفوتون (hv) قبل وبعد التلدين والتشعيع.

معامل الخمود :- Extinction Coefficient

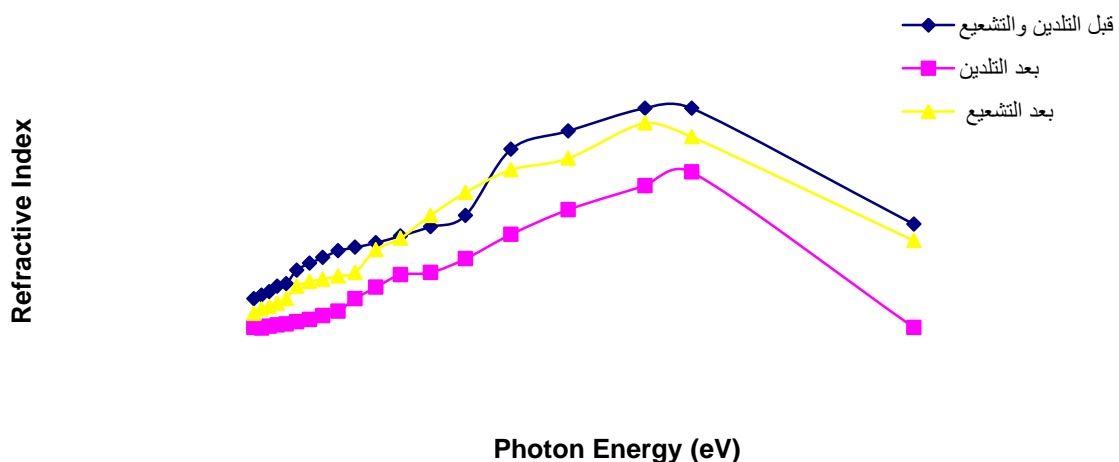
يتم حساب معامل الخمود بواسطة المعادلة (15) ويمكن تعريفه بأنه الجزء الخيالي لمعامل الانكسار المعتمد. لذلك فإن معامل الخمود يزداد مع التلدين والتشعيع وكذلك يزداد مع زيادة طاقة الفوتون وكما هو واضح في الشكل رقم (3) حيث العلاقة بين معامل الخمود (K) وطاقة الفوتون ($h\nu$) .



شكل رقم (3) يوضح العلاقة بين معامل الخمود (K) لأغشية CdSe كدالة لطاقة الفوتون ($h\nu$) قبل وبعد التلدين والتشعيع.

معامل الانكسار :- Refractive Index

حيث أن معامل الانكسار يمكن تعريفه بدلالة سرعة الموجة وبذلك يكون النسبة بين سرعة الموجة في الفراغ إلى سرعتها في الوسط وفق المعادلة (14) .وكما هو واضح في الشكل رقم (4) والذي يبين العلاقة بين معامل الانكسار (n) وطاقة الفوتون ($h\nu$) نلاحظ أن معامل الانكسار يقل مع التشعيع وكذلك مع التلدين .^[16]

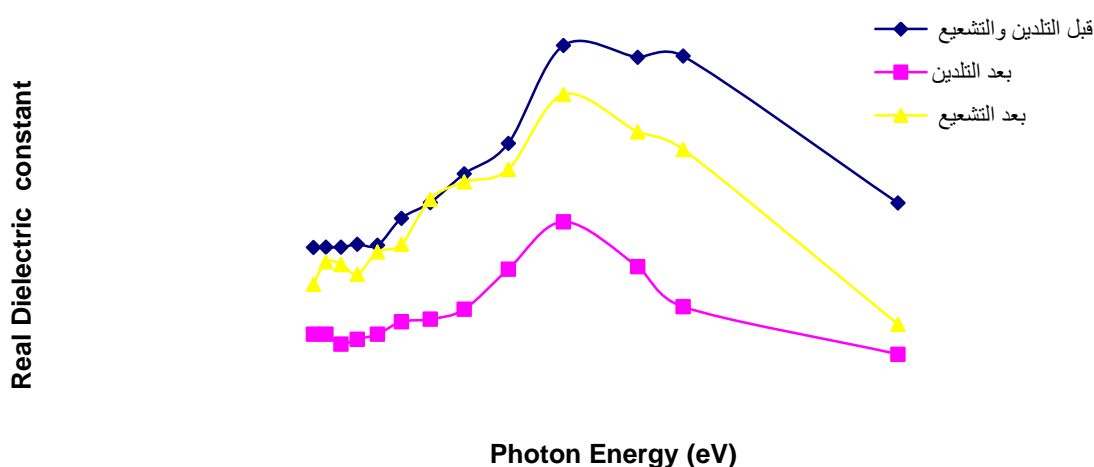


شكل رقم(4) يوضح العلاقة بين معامل الانكسار (n) لأغشية CdSe كدالة لطاقة الفوتون ($h\nu$) قبل وبعد التلدين والتشعيع.

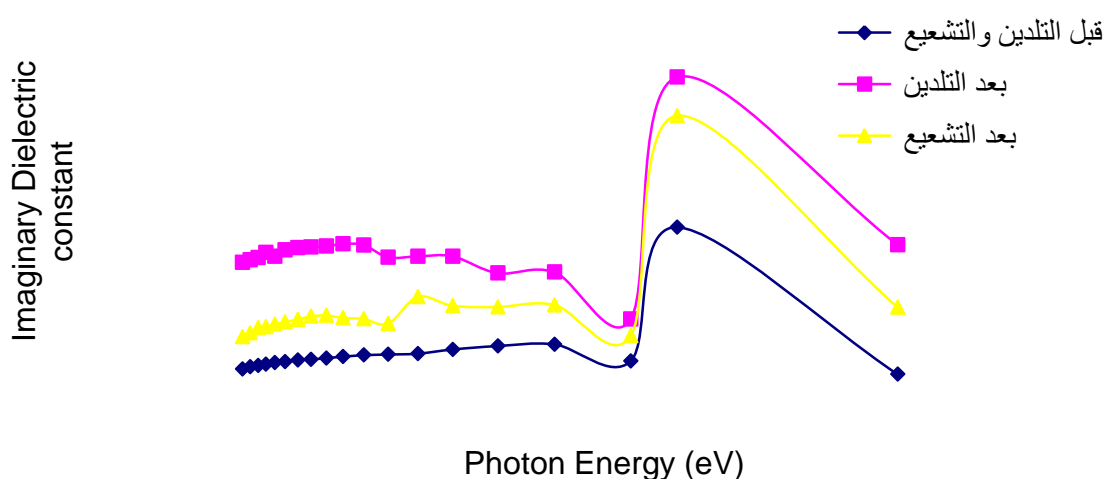
ثابت العزل الكهربائي الحقيقي والخيالي :-

Real and Imaginary part of Dielectric Constant:-

أن ثابت العزل يتكون من جزئين هما الحقيقي والخيالي ويعرف بأنه مدى استجابة المادة للمجالات الكهرومغناطيسية الساقطة ويمكن حسابه باستخدام المعادلتين (16) و (17) ومن خلال رسم العلاقة بين ثابت العزل الحقيقي والخيالي مع طاقة الفوتون نلاحظ أن ثابت العزل الحقيقي يقل بعد التلدين والتشعيع كما في الشكل رقم (5).^[16] أما ثابت العزل الخيالي يزداد بعد التلدين والتشعيع كما هو واضح بالشكل رقم (6).



شكل رقم (5) يوضح العلاقة بين ثابت العزل الحقيقي (ϵ_r) لأغشية CdSe كدالة لطاقة الفوتون ($h\nu$) قبل وبعد التلدين والتشعيع .



شكل رقم (6) يوضح العلاقة بين ثابت العزل الخيالي (ϵ_i) لأغشية CdSe كدالة لطاقة الفوتون ($h\nu$) قبل وبعد التلدين والتشعيع .

References:-

- 1-Bhaskar Kumar, Parag Vasekar, Shirish A. Pethe: Thin Solid Films, 517(2009) 2295-2299.
- 2- Sonal Singhal, Amit Kumar Chawla, Hari Om Gupta: Thin Solid Films, 518 (2009) 1402-1406.
- 3-Narayandass, K. and Mangalaraj, D., 1998, Semiconducting science and technology, Electronic Journals, 641-46.
- 4- Madan, A. and Shaw, M., 1986, The Physics and Applications of Amorphous Semiconductors, Academic Press, ed.Madan, In. New York.
- 5-Al-Ani, S.K.J.,Mohammed, H.H., and Al-Fawade, E.M., 2000, The Optoelectronic Properties of CdSe Photoconductive Detector, world Renewable Energy congress, VI Reading, U.K.,2026-2031.
- 6- Mahmoud, A.H., 1990, Cadmium SelenideThin Films Grown by Vacuum Deposition Technique, Crys. Res.Technol, 25:1147.
- 7-Chopra K.L.(1969) ,”Thin Film Phenomena “ , Ch.2 , Mc Graw- ill Book Co. , New York
- 8- Al-Ani, S.K.J.,Mohammed, H.H., and Al-Fawade, E.M., 2000, The Optoelectronic Properties of CdSe Photoconductive Detector, world Renewable Energy congress, VI Reading, U.K.,2026-2031.
- 9-E.M.N.Al-Fawade,2006, The Effect of Doping Ratio on the Optical Properties of CdSe Films,Um-Salma Science Journal,3(1):180-185.
- 10- C.Baban, G.I.Rusu, P.Prepelite, 2005, On the Optical Properties of Polycrystalline CdSe Thin Films, Journal of Optoelectronics and Advanced Materials, 7(2):817-821.
- 11-. hreekanthan, K.N., Regendra, B.V., Kasturi, V.B. and Shivakumar, G.K., 2003, Growth and characterization of semiconducting Cadmium.
- 12-D.D.O.Eya, 2006, the Optical Properties of Cadmium Selenide CdSe Thin Films Prepared by CBD, The Pacific Journal of Science and Technology,7(1):64-68.
- 13- M.Perdo "Technological advance Lead to Greater Variety of Infrared detector " (2001).
- 14- E.M.Zobov , G.G.Garyadyev and M.A.Rizakhanov,"Sov.Phys. Semicond" , 21(1987) 991.
- 15-Jeffery P., szabo and M.cocivera,1987, Effect of annealing atmosphere on the properties of thin film CdSe, J. Appl. Phys.,61(10):4820.
- 16-. Ichimura, M., Sato, N., Nakeichi, A. and Arai, E., 2002, Properties of Photoconductivity Deposited CdSe, Phys. Stat.Sol. a, 193(1):132-138.